

Validation de modèles de régression en R

17^e Colloque du CEF

Daniel Schoenig Mégane Déziel

2024-05-01

**Exemple 1: Croissance de l'Épinette de Norvège dans les
Alpes**

Exemple 1: Croissance de l'Épinette de Norvège dans les Alpes



Données

`gutten.rds`

Références

- Guttenberg, A. R. von. (1915). Wachstum und Ertrag der Fichte im Hochgebirge. Franz Deuticke. <https://doi.org/10.5962/bhl.title.15664>
- Zeide, B. (1993). Analysis of Growth Equations. *Forest Science*, 39(3), 594–616. <https://doi.org/10.1093/forestscience/39.3.594>
- Robinson, A. P., & Hamann, J. D. (2011). *Forest analytics with R: An introduction*. Springer.

Image: Wikimedia (Michela Modena)

Exemple 1: Croissance de l'Épinette de Norvège dans les Alpes



Image: Wikimedia (Michela Modena)

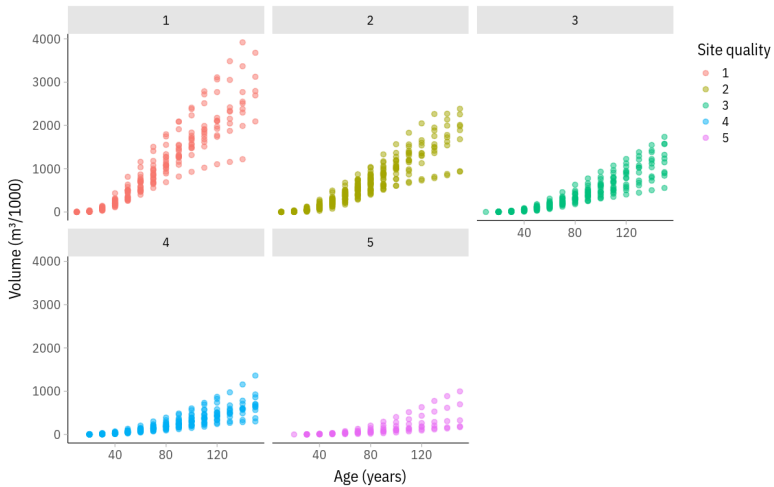
Données

`gutten.rds`

Variables

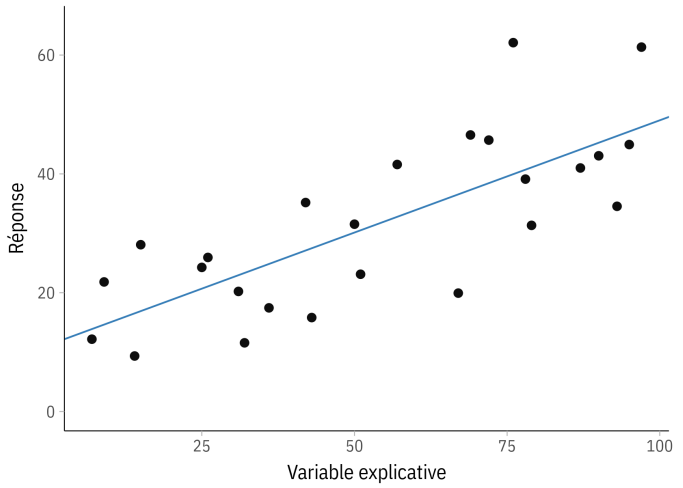
- `quality`: indice de qualité de site, de 1 (le meilleur) à 5 (le pire) ;
- `site`: identité du site ;
- `tree`: identité de l'arbre dans le site ;
- `age.base` : âge de l'arbre déterminé au niveau du sol (années) ;
- `height` : hauteur de l'arbre (m) ;
- `dbh.cm` : diamètre de l'arbre à hauteur de poitrine (cm) ;
- `age.bh` : âge de l'arbre à hauteur de poitrine (années) ;
- `volume` : volume de l'arbre (10^{-3} m^3) ;
- `tree.id`: identité unique de l'arbre.

Exemple 1: Croissance de l'Épinette de Norvège dans les Alpes

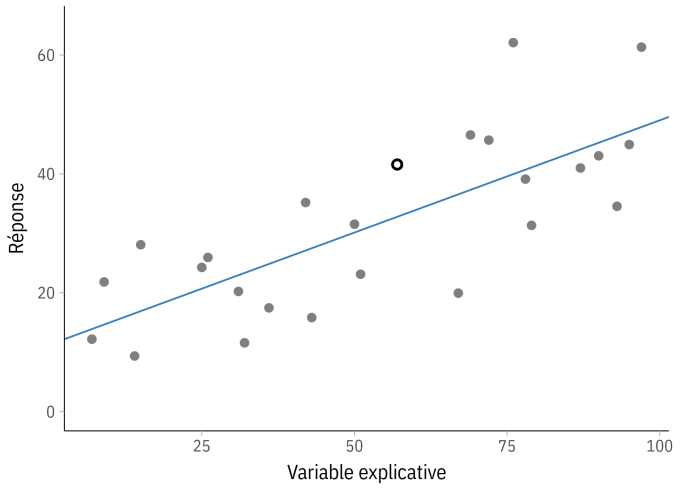


Résidus quantiles

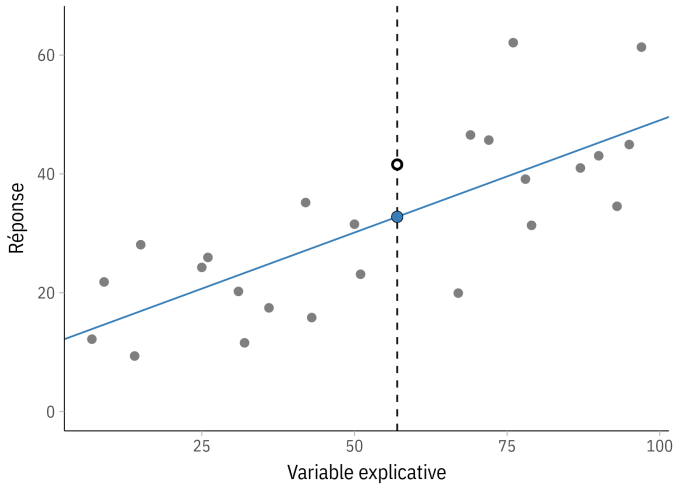
Résidus



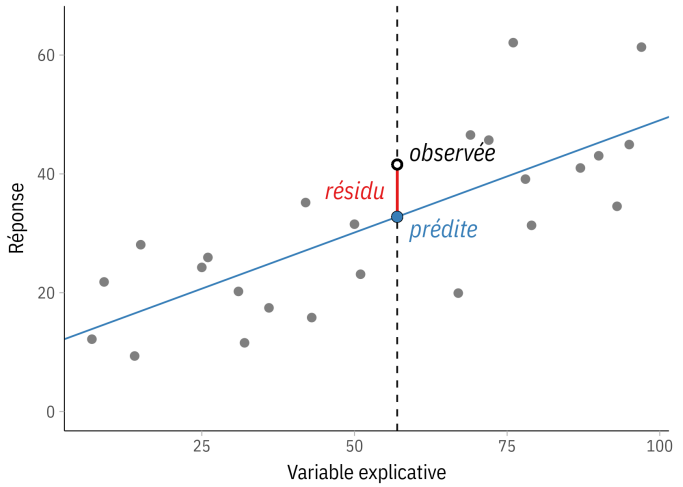
Résidus



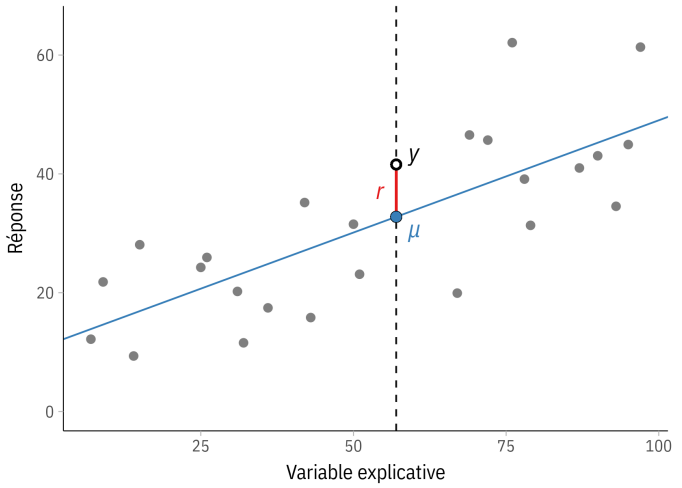
Résidus



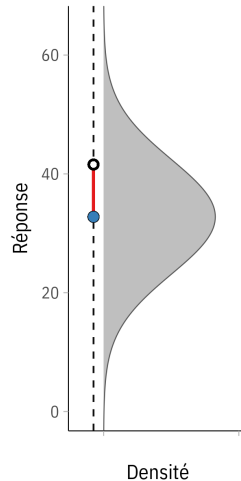
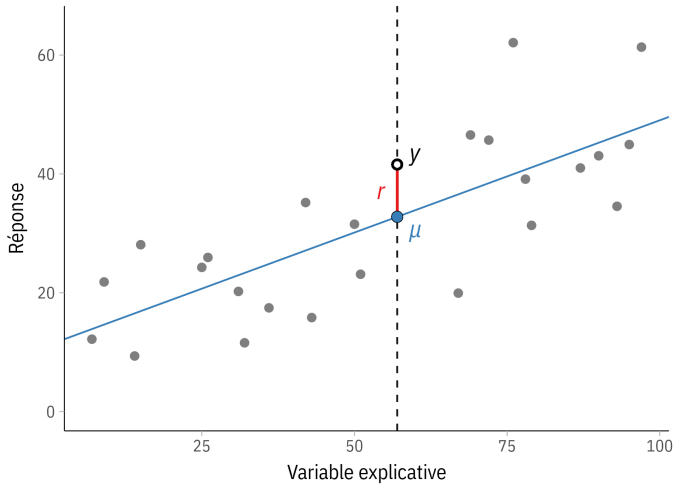
Résidus



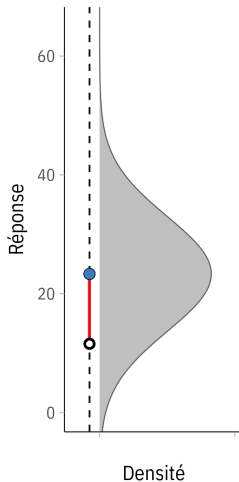
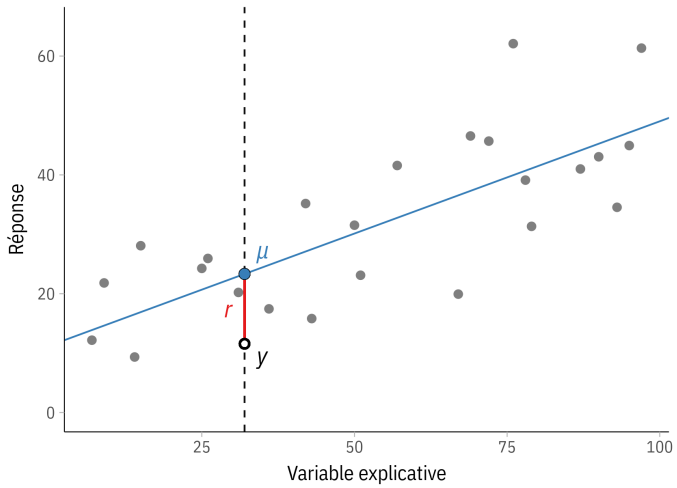
Résidus



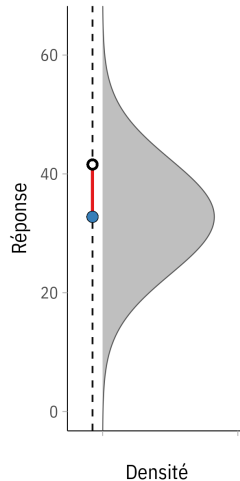
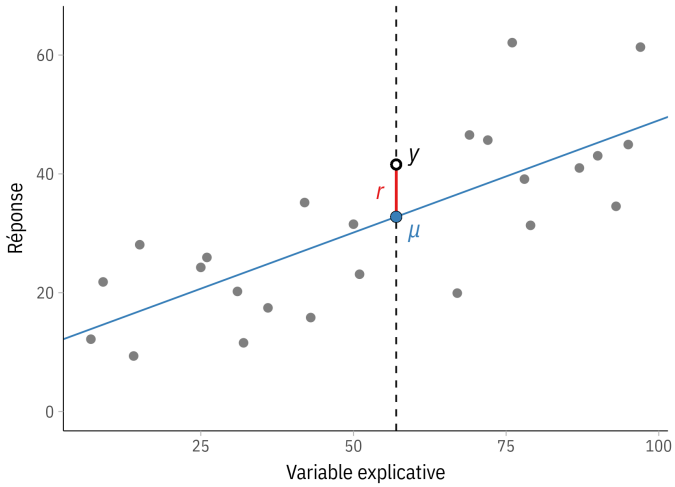
Résidus



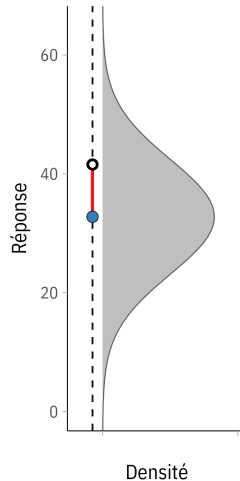
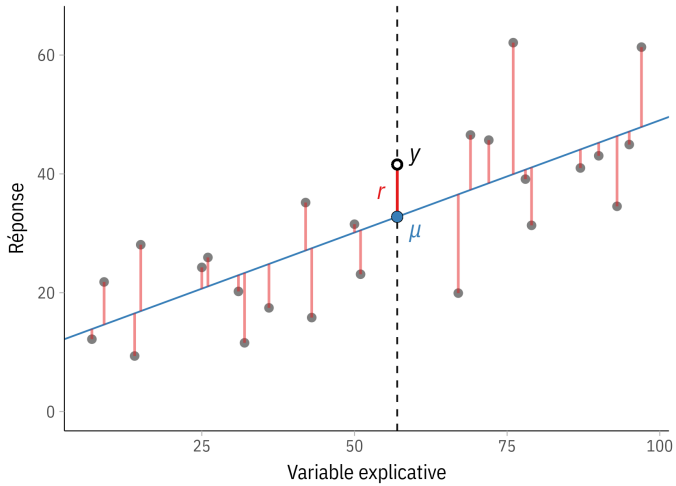
Résidus



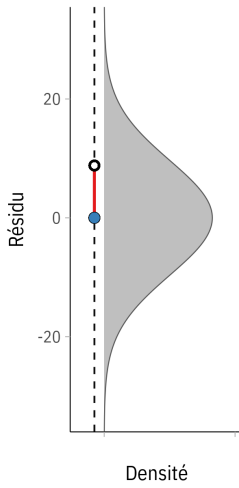
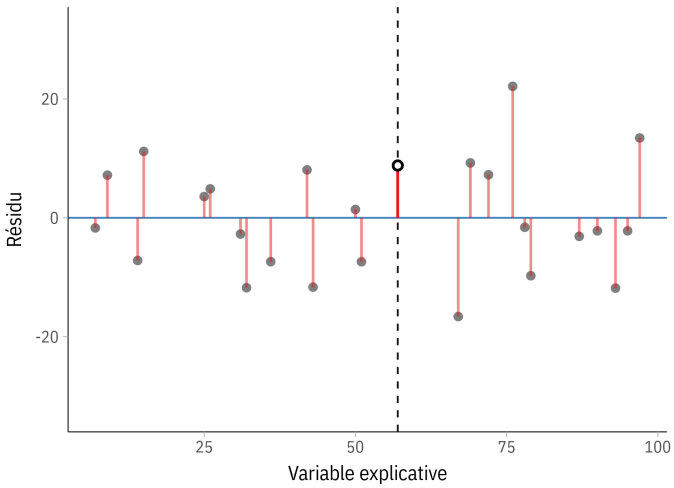
Résidus



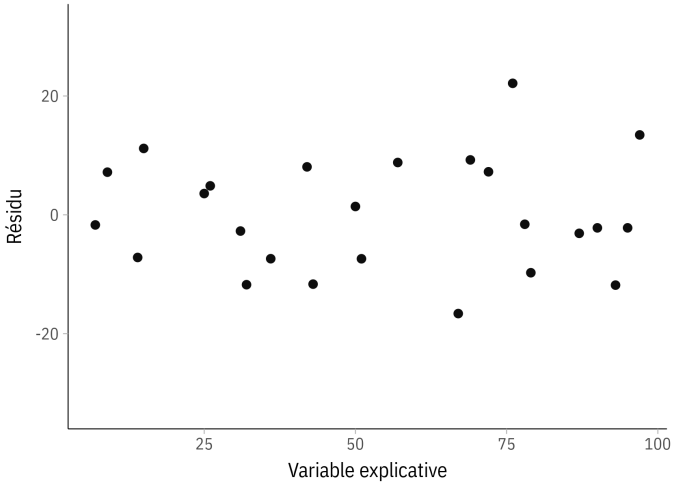
Résidus



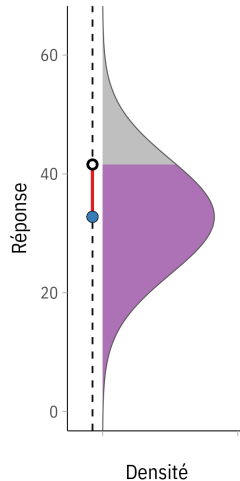
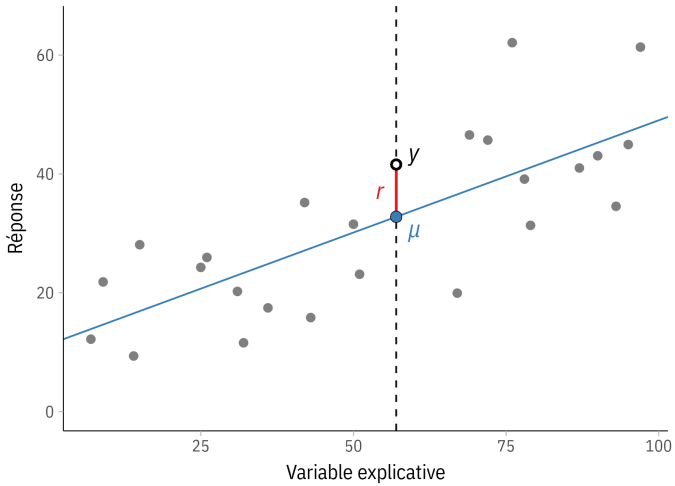
Résidus



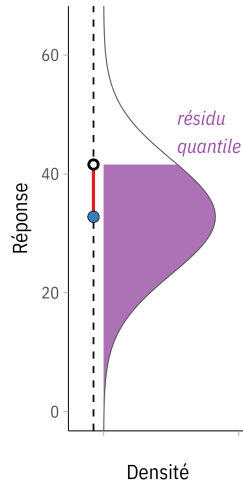
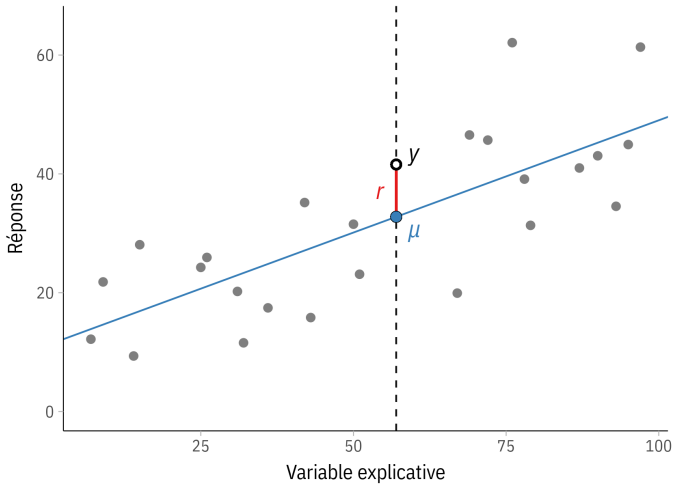
Résidus



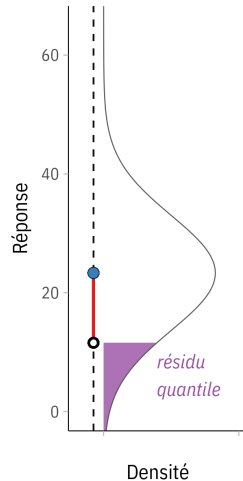
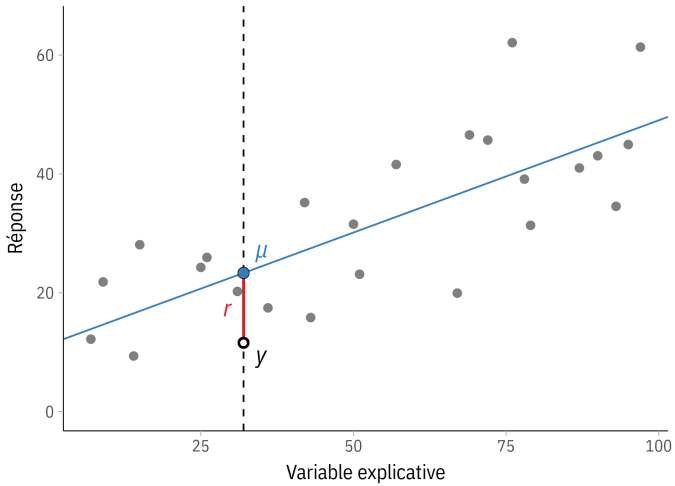
Résidus quantiles



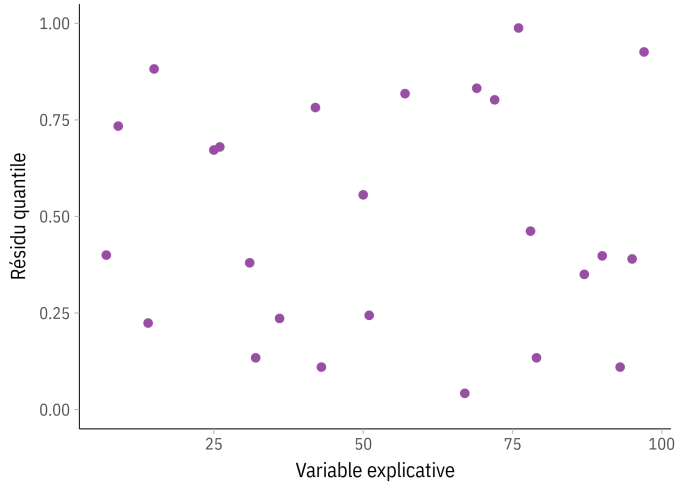
Résidus quantiles



Résidus quantiles



Résidus quantiles



Modèle linéaire

Pour chaque observation i :

$$y_i \sim \mathcal{N}(\mu_i, \sigma^2)$$

Modèle linéaire

Pour chaque observation i :

$$y_i \sim \mathcal{N}(\mu_i, \sigma^2)$$

$$\mu_i = \alpha + \beta x_i + \cdots$$

Modèle linéaire

Pour chaque observation i :

Résidu: $r_i \sim \mathcal{N}(0, \sigma^2)$

$$y_i \sim \mathcal{N}(\mu_i, \sigma^2)$$

$$\mu_i = \alpha + \beta x_i + \cdots$$

$$y_i = \mu_i + r_i$$

Modèle linéaire

Pour chaque observation i :

$$y_i \sim \mathcal{N}(\mu_i, \sigma^2)$$

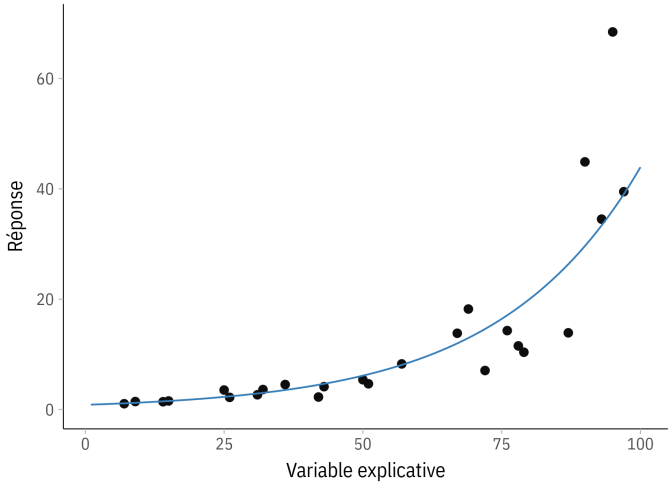
$$\mu_i = \alpha + \beta x_i + \cdots$$

$$y_i = \mu_i + r_i$$

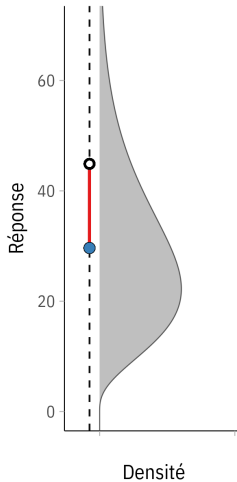
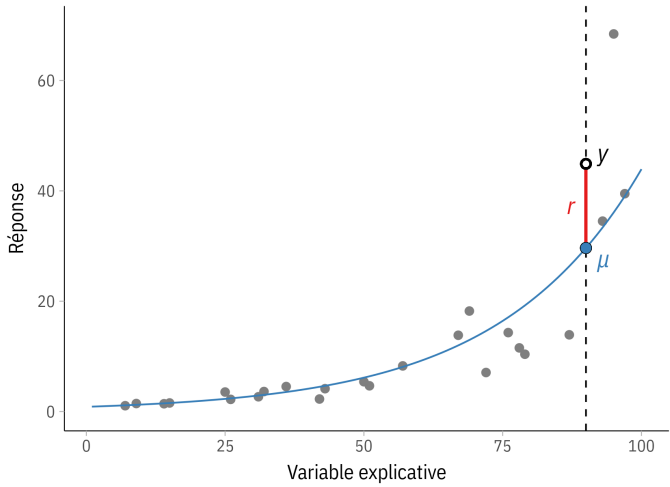
Résidu: $r_i \sim \mathcal{N}(0, \sigma^2)$

Résidu quantile: $r_{Qi} \sim \mathcal{U}_{[0,1]}$

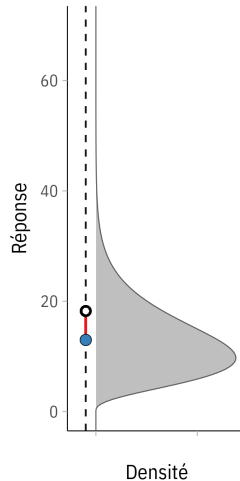
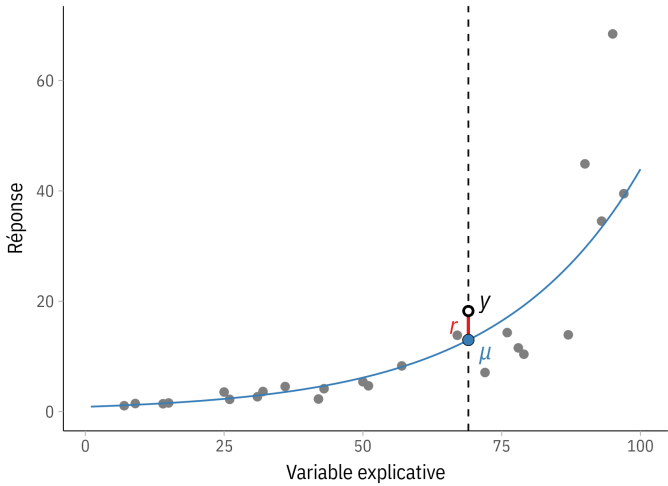
Résidus du modèle linéaire généralisé



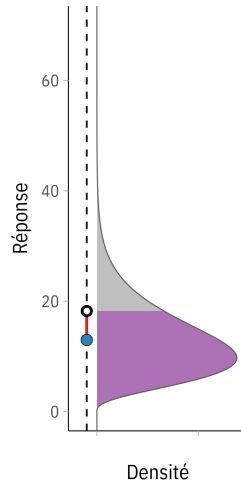
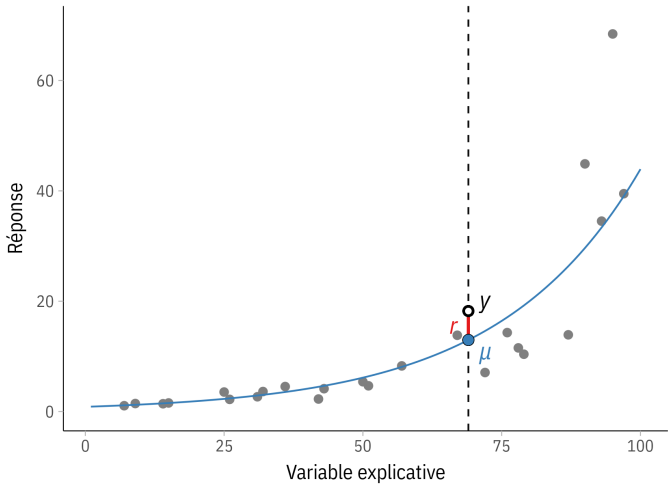
Résidus du modèle linéaire généralisé



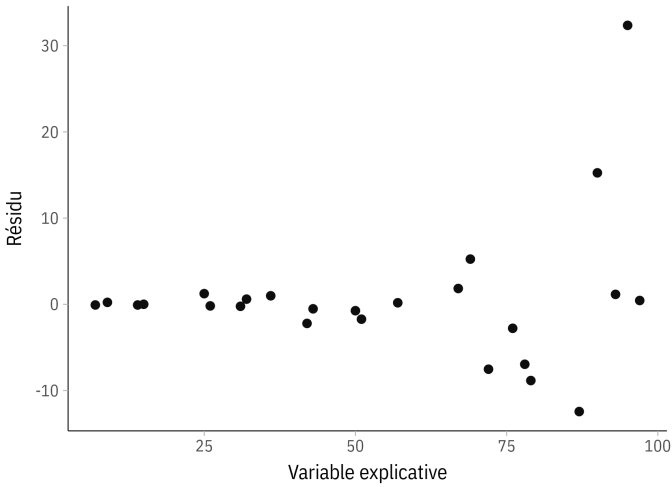
Résidus du modèle linéaire généralisé



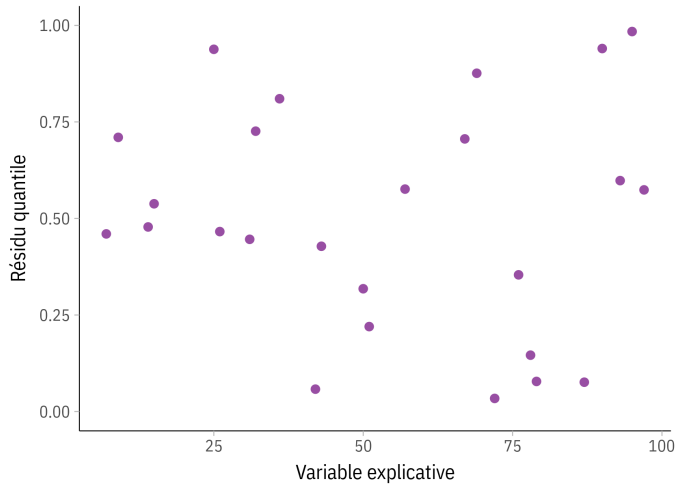
Résidus du modèle linéaire généralisé



Résidus du modèle linéaire généralisé



Résidus du modèle linéaire généralisé



Modèle linéaire généralisé

Pour chaque observation i :

$$y_i \sim \text{EF}(\mu_i, \phi)$$

$$g(\mu_i) = \alpha + \beta x_i + \cdots$$

$$y_i = \mu_i + r_i$$

Résidu: $r_i \sim ?$

Résidu quantile: $r_{Qi} \sim \mathcal{U}_{[0,1]}$

Modèle linéaire généralisé

Pour chaque observation i :

$$y_i \sim \text{EF}(\mu_i, \phi)$$

$$g(\mu_i) = \alpha + \beta x_i + \cdots$$

$$y_i = \mu_i + r_i$$

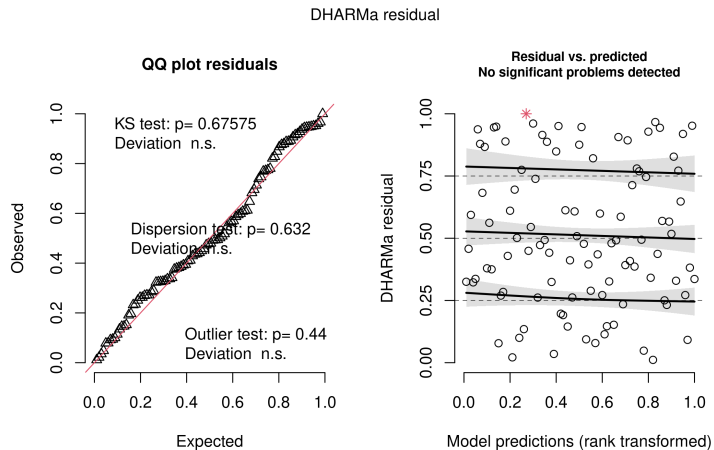
Résidu: $r_i \sim ?$

Résidu quantile: $r_{Qi} \sim \mathcal{U}_{[0,1]}$

Il existe d'autres types de résidus (par exemple *Pearson* où *déviance*) qui suivent une distribution presque normale *sous certaines conditions*.

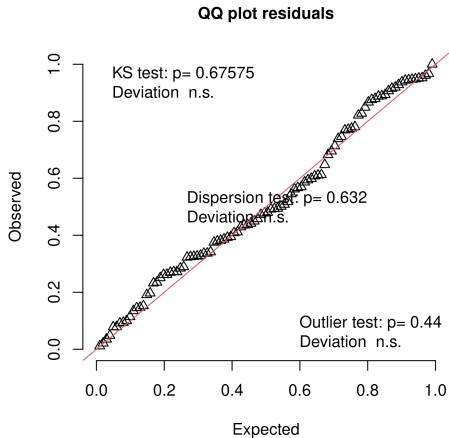
Graphiques de résidus quantiles

Graphiques de résidus quantiles

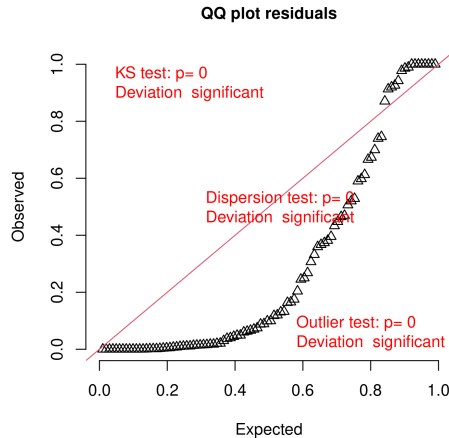


Graphiques de résidus quantiles

Dispersion correcte

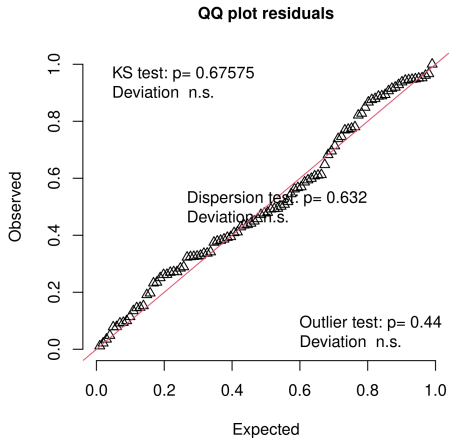


Surdispersion

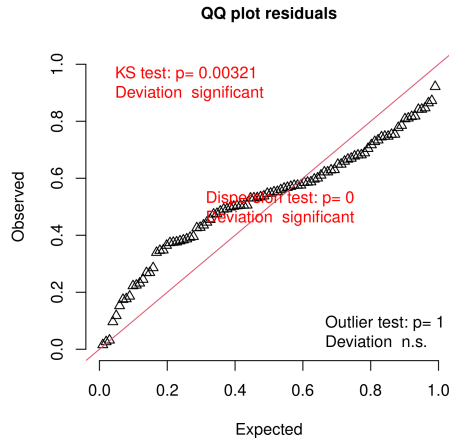


Graphiques de résidus quantiles

Dispersion correcte



Sousdispersion



Surdispersion et sousdispersion

Surdispersion (*overdispersion*)

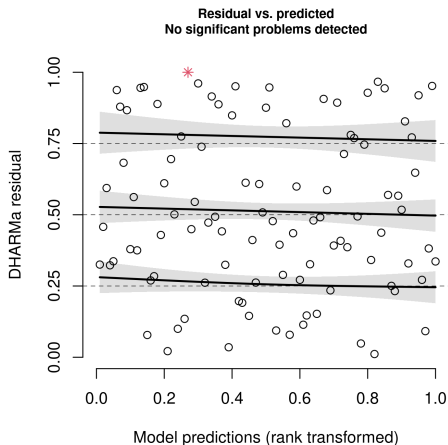
- Il y a plus de résidus extrêmes que prévu par le modèle.
- Le modèle ne prend pas en compte une partie de l'incertitude.
- Les intervalles de confiance sont trop petits et les valeurs p sont trop faibles.

Sousdispersion (*underdispersion*)

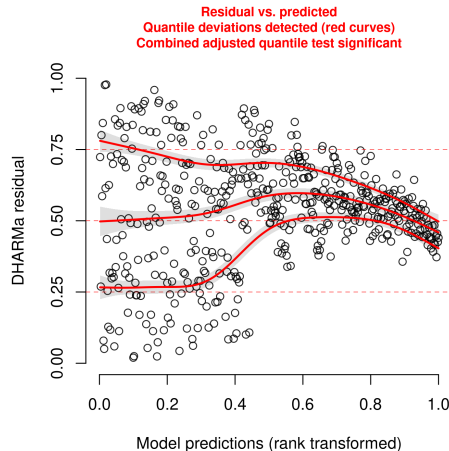
- Il y a moins de résidus extrêmes que prévu par le modèle.
- Le modèle prévoit trop de incertitude.
- Souvent moins grave que la surdispersion parce que l'inférence devient plus conservatrice.

Graphiques de résidus quantiles

Homoscédasticité



Hétéroscédaſticité



Rapporter la validation par résidus quantiles

La méthode

Dunn, P. K., & Smyth, G. K. (1996). Randomized Quantile Residuals. *Journal of Computational and Graphical Statistics*, 5(3), 236–244.
<https://doi.org/10.1080/10618600.1996.10474708>

Le package

Hartig, F. (2022). DHARMA : Residual diagnostics for hierarchical (multi-level / mixed) regression models. R package version 0.4.6,
<https://CRAN.R-project.org/package=DHARMA>

Rapporter la validation par résidus quantiles

Comment citer

Model assumptions were validated by inspecting quantile residuals (Dunn & Smyth, 1996), as implemented in the *R* package DHARMA (Hartig, 2022).

Rapporter la validation par résidus quantiles

Comment citer

Model assumptions were validated by inspecting quantile residuals (Dunn & Smyth, 1996), as implemented in the *R* package DHARMA (Hartig, 2022).

Il est recommandé d'inclure les graphiques résiduels dans l'annexe ou dans le matériel supplémentaire.

Quelques distributions pour la variable de réponse

Quelques distributions pour la variable de réponse

Distribution	Domaine	Commentaire
Normale (Gaussien)	$(-\infty, \infty)$	Variance homogène pour toutes les observations.

Quelques distributions pour la variable de réponse

Distribution	Domaine	Commentaire
Normale (Gaussien)	$(-\infty, \infty)$	Variance homogène pour toutes les observations.
Gamma	$(0, \infty)$	Variance augmente avec la moyenne.

Quelques distributions pour la variable de réponse

Distribution	Domaine	Commentaire
Normale (Gaussien)	$(-\infty, \infty)$	Variance homogène pour toutes les observations.
Gamma	$(0, \infty)$	Variance égale à la moyenne au carré.
Poisson	$\{0, 1, 2, \dots\}$	Variance égale à la moyenne. Souvent problèmes de surdispersion.

Quelques distributions pour la variable de réponse

Distribution	Domaine	Commentaire
Normale (Gaussien)	$(-\infty, \infty)$	Variance homogène pour toutes les observations.
Gamma	$(0, \infty)$	Variance égale à la moyenne au carré.
Poisson	$\{0, 1, 2, \dots\}$	Variance égale à la moyenne. Souvent problèmes de surdispersion.
Binomiale négative	$\{0, 1, 2, \dots\}$	Variance augmente avec la moyenne (mais plus fortement que pour la distribution Poisson).

Quelques distributions pour la variable de réponse

Distribution	Domaine	Commentaire
Normale (Gaussien)	$(-\infty, \infty)$	Variance homogène pour toutes les observations.
Gamma	$(0, \infty)$	Variance égale à la moyenne au carré.
Poisson	$\{0, 1, 2, \dots\}$	Variance égale à la moyenne. Souvent problèmes de surdispersion.
Binomiale négative	$\{0, 1, 2, \dots\}$	Variance augmente avec la moyenne (mais plus fortement que pour la distribution Poisson).
Tweedie (avec $0 < \xi < 1$)	$[0, \infty)$	Variance augmente avec la moyenne (mais d'une façon plus flexible que les distributions Gamma et Poisson). Permet de prendre en compte un excès de zéros.

Quelques distributions pour la variable de réponse

Distribution	Domaine	Commentaire
Normale (Gaussien)	$(-\infty, \infty)$	Variance homogène pour toutes les observations.
Gamma	$(0, \infty)$	Variance égale à la moyenne au carré.
Poisson	$\{0, 1, 2, \dots\}$	Variance égale à la moyenne. Souvent problèmes de surdispersion.
Binomiale négative	$\{0, 1, 2, \dots\}$	Variance augmente avec la moyenne (mais plus fortement que pour la distribution Poisson).
Tweedie (avec $0 < \xi < 1$)	$[0, \infty)$	Variance augmente avec la moyenne (mais d'une façon plus flexible que les distributions Gamma et Poisson). Permet de prendre en compte un excès de zéros.
Bernoulli	$\{0, 1\}$	Agrégation nécessaire pour détecter une possible surdispersion. Équivalente à une distribution binomiale avec un essai.

Exemple 2: Effet de l'ozone sur les semis de l'épinette de Sitka

Exemple 2: Effet de l'ozone sur les semis de l'épinette de Sitka



Données

`sitka.rds`

Références

Diggle, P., Heagerty, P., Liang, K.-Y., & Zeger, S. (2002). Analysis of Longitudinal Data (Second Edition). Oxford University Press.

Données recueillies par Dr Peter Lucas (*Biological Sciences Division, Lancaster University*).

Image: Wikimedia (Brandon Kuschel)

Exemple 2: Effet de l'ozone sur les semis de l'épinette de Sitka



Données

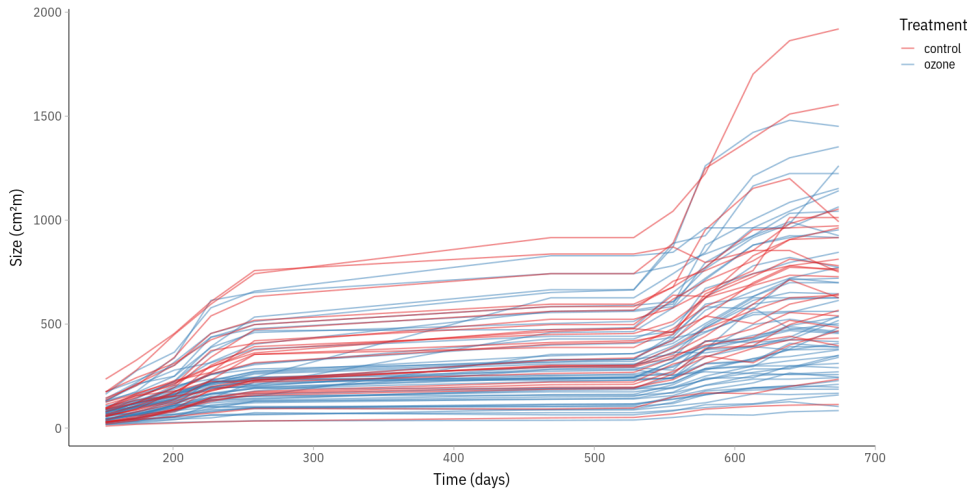
`sitka.csv`

Variables

- `tree.id` : identité de l'arbre (79 individus) ;
- `day` : nombre de jours depuis le 1er janvier 1988 ;
- `size` : taille de l'arbre (hauteur multipliée par le diamètre, 10^{-4} m^3) ;
- `treatment` : indique si les arbres sont maintenus dans un environnement normal (`control`) ou enrichi (70 nl l^{-1}) en ozone (`ozone`).

Image: Wikimedia (Brandon Kuschel)

Exemple 2: Effet de l'ozone sur les semis de l'épinette de Sitka



Exemple 3: Distribution des lichens en Suède

Exemple 3: Distribution des lichens en Suède



Données

lichen.csv

Références

Esseen, Per-Anders et al. (2022), Multiple drivers of large-scale lichen decline in boreal forest canopies, Dryad, Dataset, <https://doi.org/10.5061/dryad.2ngf1vhq5>

Esseen, P.-A., Ekström, M., Grafström, A., Jonsson, B. G., Palmqvist, K., Westerlund, B., & Ståhl, G. (2022). Multiple drivers of large-scale lichen decline in boreal forest canopies. *Global Change Biology*, 28(10), 3293–3309. <https://doi.org/10.1111/gcb.16128>

Exemple 3: Distribution des lichens en Suède



Image: Wikimedia (Lisalunamorris)

Données

`lichen.rds`

Variables

- `tree.id` : identité unique de l'arbre ;
- *Informations sur l'inventaire* : `ip` (période d'inventaire, 1 ou 2) ; `region` (région de l'inventaire) ; `year` (année de l'évaluation) ;
- `east, north` : coordonnées projetées dans la grille de référence suédoise (EPSG : 3006) ;
- `species` : genre du lichen (soit `Usnea`, `Aleactoria`, ou `Bryoria`) ;
- `occurrence` : indique si des lichens du genre correspondant ont été trouvés sur l'arbre (1) ou pas (0) ;

Exemple 3: Distribution des lichens en Suède



Données

lichen.rds

Variables (suite)

- ...
- **Variables environnementales** : `mat` (proportion de forêts matures dans un rayon de 100 m) ; `temp` (température annuelle moyenne, °C) ; `rain` (cumul annuel de pluie, mm) ; `ndep` (dépôt annuel moyen d'azote, kg N ha⁻¹ an⁻¹) ;
- **Variables au niveau de l'arbre** : `dbh` (diamètre à hauteur de poitrine, mm) ; `crl` (limite du houppier, m) ;
- **Variables au niveau du peuplement** : `bas` (surface terrière, m² ha⁻¹), `age` (âge du peuplement) ;

Exemple 3: Distribution des lichens en Suède



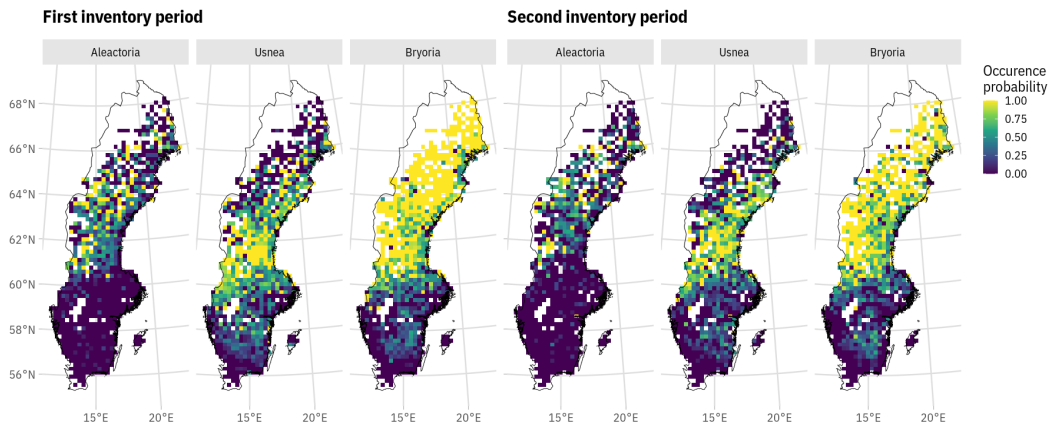
Données

`lichen.rds`

Variables (suite)

- ...
- Grille d'agrégation spatiale (20km×20km) : `east.agg`, `north.agg`, `rast.agg.id`

Exemple 3: Distribution des lichens en Suède



Fonctions importantes

Fonctions importantes

Fonctions principales

Fonction	Déscription
<code>simulateResiduals()</code>	Simuler de résidus quantiles randomisés.
<code>plot()</code>	Produire un graphique QQ (comme <code>testUniformity()</code>) et un graphique des résidus en fonction des valeurs prédictes (comme <code>testQuantiles()</code>).
<code>plotResiduals()</code>	Produire graphique des résidus en fonction des valeurs prédictes ou d'une autre variable et valider l'absence de patrons et heteroscedasticité.

Fonctions importantes

Tests individuels (utilisés par les autres fonctions)

Fonction	Déscription
<code>testUniformity()</code>	Produire un graphique QQ et vérifier l'uniformité de la distribution des résidus.
<code>testQuantile()</code>	Produire un graphique des résidus en fonction des valeurs prédictes et vérifier l'absence de patrons et heteroscedasticité.
<code>testDispersion()</code>	Vérifier la dispersion.
<code>testOutliers()</code>	Vérifier la fréquence des résidus extrêmes.

Fonctions importantes

Autocorrelation temporelle et spatiale

Fonction	Déscription
<code>recalculateResiduals()</code>	Agréger les résidus par groupe (par exemple par période de temps ou par lieu géographique).
<code>testTemporalAutocorrelation()</code>	Vérifier l'autocorrelation temporelle résiduelle.
<code>testSpatialAutocorrelation()</code>	Vérifier l'autocorrelation spatiale résiduelle.

Fonctions importantes

Excès de zéros

Fonction	Déscription
<code>testZeroInflation()</code>	Vérifier s'il y a plus de zéros exacts que ceux pris en compte par le modèle.

Fonctions importantes

Modèles bayésiens et autres

Fonction	Déscription
<code>createDHARMA()</code>	Calculer les résidus à partir d'un ensemble de simulations. Utile pour valider des modèles bayésiens.

Voir aussi:

<https://cran.r-project.org/web/packages/DHARMA/vignettes/DHARMAForBayesians.html>